

地震荷重を受けるPCはり・柱接合部の変形性状に関する研究

京都大学 六車 熙¹⁾ 同富永 恵²⁾
後藤英遠³⁾ 同・佐野 喜志夫⁴⁾

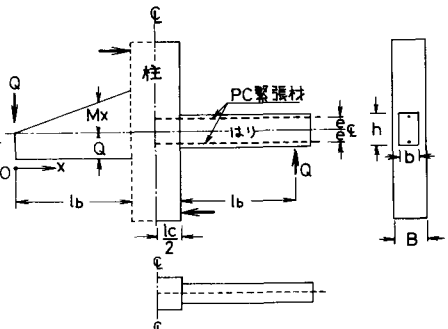
1. はじめに コンクリート系剛接テーメンに地震力のような水平力が作用すると、上、下の柱または左右のはりの曲げモーメントの作用方向とその大きさが柱・はり接合部で急変する。通し鉄筋がこのような状態の接合部に配置されると短かい接合部柱丈の間に一本の鉄筋の応力が引張から圧縮へ急変するため、通し鉄筋と接合部コンクリート間に大きな付着応力が働くことはならない。用いる鉄筋の付着耐力が大きければ、通し鉄筋に沿って接合部に大きな付着せん断力が作用し、接合部コンクリートにせん断ひびわれが発生してその剛性が急激に低下する。一方、鉄筋の付着特性が適当であるか、或いは接合部コンクリートのせん断補強が充分であれば、通し鉄筋はかなりの付着耐力を發揮しつゝ、コンクリートとの間に相対滑りを生じ、その間にエネルギー吸収能力を期待できる。鉄筋の付着耐力が極端に小さければ通し鉄筋は簡単に相対滑りを生じ、応力が平均化される結果、接合部に隣接する部材耐力の低下を招くことになる。いずれにしろ、鉄筋の相対滑りにより接合部から鉄筋が抜け出したり、また、接合部コンクリートにひびわれが生じて接合部にせん断ひびわれが生じると、隣接部材の接合部端に付加回転角を与えることになる。

柱ヒラレストコンクリート（以下PCと略記）はりと共通緊張材でポストテンションおよびグラウト施工した場合、コンクリートに埋込んだ普通鉄筋の場合と比較してグラウトの付着特性が劣るものと考えられ、特に繰返し交番的な激烈な地震力をうける接合部で付着の殆どない状態になると考えられる。ある場合には付着なしPC部材の施工性が良いことに注目して、特殊な表面処理を行なったPC緊張材を用いて、最初からボンドなしとしたPC構造物も実際に作られている。

本研究は地震荷重をうける、このような付着の完全でないPCはり・柱接合部の耐力や剛性評価に不明の点が多いことを考慮して、完全に付着のない場合や多少劣化している場合、緊張材の相対すべりが耐力や剛性評価におよぼす影響について理論的および実験的に明らかにすることを目的としている。

2. 付着のないPCはり・柱接合部の耐力と変形性状
PCはり中の緊張材全長にわたりコンクリートとの間の付着がない、オフ図に示すようなPCはり、柱接合部が逆対称荷重をうける場合について、その耐力と変形性状を下記の仮定のもとに求める。

- (i) 緊張材はその全長にわたりグラウト等による付着がなく、かつ、部材変形後シース周壁との接觸による摩擦を無視する。
- (ii) PCはりの破壊はその固定端の圧縮側コンクリートの圧壊によって生じるが、破壊に対するせん断応力の影響を無視する。



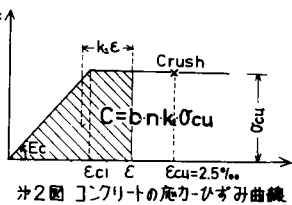
オフ図 逆対称荷重をうける柱・はり接合部

- | | |
|----------|----------|
| 1) 工学部教授 | 2) 同助教授 |
| 3) 同学生 | 4) 同大学院生 |

(iii) コンクリートはオ2図に示す圧縮応力-ひずみ特性 $\sigma_c = f(\varepsilon_c)$ を有するものとし、引張に対し抵抗しない。

(iv) 締張筋はオ3図に示す締張力-ひずみ特性 $P = g(\varepsilon_s)$ を有する。

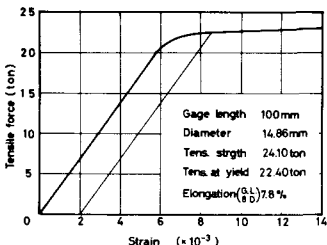
(v) ある変形状態における締張筋全長の伸び変化量と締張筋位置コンクリートの全伸び変化量は等しく、せん断ひずみは無視する。



オ2図 コンクリートの応力-ひずみ曲線

仮定(i)より締張筋締張力はその長さ方向との位置で同じ締張力となる。仮定(ii)はシャースパン比 l_b/h がある程度大きいが、または、約 1.5 以下の小さい値であれば認め得る。仮定(v)の中で柱丈部のコンクリートひずみ分布を如何にとるか疑問のあるところであるが、後述のようにこのひずみ分布の影響は小さいことが判った。

2-1. オ1図に示したのは載荷端 ($x=0$) から柱取付部固定端 ($x=l_b$) 間の終局時各断面応力、ひずみ分布はオ4図に示す3段階に大別できる。対称性と仮定(i)とから上下締張筋存在刀は等しく、有効締張力 P_0 および終局時存在力 P_u とすると、 $P_{oc} = P_{ot} = P_0$ 、 $P_{uc} = P_{ut} = P_u$ となる。終局時の固定端曲げモーメントを M_u で表わす。以下、締張筋位置コンクリートひずみを対照して、各段階毎に伸び変化量を求める。



オ3図 PC鋼筋の引張力-ひずみ曲線

(i) ひびわれ未発生域 ($0 \leq x \leq x_1$)

$$\text{ひびわれ発生位置 } x_1 = \frac{4l_b I_c}{A_c h \bar{\delta}}, \quad \bar{\delta} = \frac{M_u}{P_u} \quad (M_x = l_b = M_u) \quad (1)$$

$$\text{有効締張力による圧縮ひずみ } \varepsilon_{0f} = \frac{2P_0}{E_c A_c}, \quad (\bar{\delta} \text{ は各々上下締張筋位置ひずみ}) \quad (2)$$

$$\text{終局時圧縮ひずみ } \varepsilon_{uf} = \pm \frac{M_x \cdot e}{E_c I_c} + \frac{2P_u}{E_c A_c} \quad (3)$$

$$\text{ひずみ変化量 (2)式-(3)式 } \Delta \varepsilon_{1f} = \frac{2(P_0 - P_u)}{E_c A_c} + \frac{M_x \cdot e}{E_c I_c} \quad (4)$$

締張筋位置コンクリート伸び変化量を求めるため(4)式 $\Delta \varepsilon_{1f}$ を $x=0$ から x_1 まで積分すると

$$\Delta \varepsilon_{1f} = \int_0^{x_1} \Delta \varepsilon_{1f} \cdot dx = \frac{2(P_0 - P_u)}{E_c A_c} \cdot x_1 + \frac{M_u e x_1^2}{2l_b E_c I_c} \quad (5)$$

(ii) ひびわれが発生し、かつコンクリート圧縮応力は弾性限以下 ($x_1 \leq x \leq x_2$)

コンクリート圧縮へり応力が弾性限 σ_{cu} になる位置 x_2 は、軸力およびモーメントの釣合より求まる。

$$\text{軸力の釣合 } P_u = \frac{1}{2} \int_0^{x_2} b f \left(\frac{\sigma_{cx}}{n_x} \cdot z \right) dz = \frac{b E_c \sigma_{cx} \cdot n_x}{4} \quad (6)$$

$$\text{モーメントの釣合 } M_x = P_u \left(\frac{h}{2} + e - n_x \right) - P_u \left(n_x - \frac{h}{2} + e \right) + \int_0^{x_2} b f \left(\frac{\sigma_{cx}}{n_x} \cdot z \right) z dz = P_u \left(h - \frac{2}{3} n_x \right) \quad (7)$$

$$\text{オ1図より } M_x = \frac{x}{l_b} M_u \text{ であるから、(7)式より } n_x = \frac{2}{3} \left(h - \frac{x}{l_b} \cdot \bar{\delta} \right) \text{ となる。} \quad (8)$$

(8)式で $x = x_2$ となるとき、(6)式で $\sigma_{cx} = \varepsilon_{0f}$ となる。

(8), (6)式から

$$\text{終局時圧縮ひずみ } x_2 = \left(\frac{-8P_u}{3b E_c \varepsilon_{0f}} + h \right) \cdot \frac{l_b}{\bar{\delta}} = \left(h - \frac{8}{3} m \right) \cdot \frac{l_b}{\bar{\delta}}, \quad \text{ここで } m = \frac{P_u}{b E_c \varepsilon_{0f}} = \frac{P_u}{b \sigma_{cu}} \quad (9)$$

$$\varepsilon_{0f} = \frac{\sigma_{cx}}{n_x} \left\{ n_x - \left(\frac{h}{2} + e \right) \right\} \quad (10)$$

$$\text{ひずみ変化量 (2)式-(10)式 } \Delta \varepsilon_{2f} = \frac{2P_0}{E_c A_c} - \frac{\sigma_{cx}}{n_x} \left(n_x - \frac{h}{2} + e \right) \quad (11)$$

締張筋位置コンクリート伸び変化量を求めるため、(11)式 $\Delta \varepsilon_{2f}$ を $x = x_1$ (i) $0 \leq x \leq x_1$ 、(ii) $x_1 \leq x \leq x_2$ 、(iii) $x_2 \leq x \leq l_b$ 式から $x = x_2$ (9)式まで積分する。

オ4図 PCはり軸方向の断面応力、ひずみ分布の3段階

$$\Delta L_{tf}^c = \int_{X_1}^{X_2} \Delta \varepsilon_{sf} dx = \frac{2P_0(X_2-X_1)}{E_c A_c} + \frac{16P_0}{9bE_c} \left\{ \frac{3lb}{2j} \log \left(\frac{h - \frac{X_2}{lb} \cdot j}{h - \frac{X_1}{lb} \cdot j} \right) + \frac{(e - \frac{h}{j})(X_2 - X_1)}{(h - \frac{X_2}{lb} \cdot j)(h - \frac{X_1}{lb} \cdot j)} \right\} \quad (12)$$

(iii) ひびわれが発生し、かつ、コンクリート圧縮へり応力が降伏している範囲 ($X_1 \leq X \leq X_2$)

PCはり固定端のコンクリート圧縮へりひずみが ε_{cu} に達するとさを終局とすると、

$E_{cx}=l_b=\varepsilon_{cu}$ であり、オ4図(c)を参照して前項と同様につきの釣合式が成立つ。

軸力の釣合

$$P_u = b \delta_{cu} (2n_x - n_i) / 4 \quad (13)$$

モーメントの釣合

$$M_{X_2} = \frac{x}{lb} M_u = P_u (h - 2n_x) + \frac{2P_u}{3(2n_x - n_i)} (3n_x^2 - n_i^2) \quad (14)$$

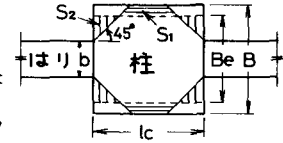
(13), (14)式および $E_{cx} = \frac{\delta_{cu}}{E_c} \cdot \frac{n_x}{n_i}$ とから n_i を消去すると n_x が求まる。 $n_x = 2m + \sqrt{6m^2 - 2m + h - \frac{X_2}{lb} \cdot j}$ (15)

緊張材位置ひずみ変化量は前項と同様に(11)式で与えられ、これを $X=X_2$ (9)式から $X=l_b$ まで積分すると

$$\Delta l_{bf}^c = \frac{2P_0}{E_c A_c} (l_b - X_2) - \frac{\varepsilon_{cl}}{2} (l_b - X_2) + \frac{\varepsilon_{cl} l_b (2m - \frac{h}{j} \pm e)}{\sqrt{6m^2 - 2m + h - \frac{X_2}{lb} \cdot j}} (\sqrt{-2m + h - \frac{X_2}{lb} \cdot j} - \sqrt{-2m + h - \frac{X_1}{lb} \cdot j}) \quad (16)$$

(iv) 柱・はり接合部 ($l_b \leq X \leq l_c + l_c$)

接合部の緊張材位置におけるコンクリートの伸びひずみ変化量 Δl_{bf} は、はり・柱断面の大きさとその相対的関係、接合部コンクリートのひびわれの有無とせん断補強の程度、柱軸圧力とモーメントの大きさなどにより オ5図 柱・はり接合部の応力分布の仮定変化する。こでは次の3種に柱巾方向への応力分散のみを考慮した3種の簡単なひずみ分布を仮定して、その影響を調べた。



(a) 左右はり固定端緊張材位置コンクリート圧縮、引張ひずみを境界値として、柱丈方向にひずみ分布が直線的に変化する場合。

(b) 接合部コンクリートひずみ分布を無視する場合。

(c) (a)の場合のひずみがオ5図で決まる柱有効巾B_eで平均化されて分布する場合。こで

$$B_e = \frac{z(l_c + b)B - b^2 - B^2}{2l_c}, \quad B \leq l_c + b$$

$$B_e = \frac{l_c + 2b}{2}, \quad B \geq l_c + b$$

Z-1. 終局耐力の計算方法

終局状態における緊張材伸びひずみは(17)式で与えられる。

$$\varepsilon_s = \sum \Delta l_{sf} = \varepsilon_{sf} + \frac{\sum \Delta l_{sf}}{(2l_b + l_c)} \quad (17)$$

これは緊張材緊張力 P_u の函数であるが、同時に緊張材の引張力ひずみ曲線 $P = g(\varepsilon_s)$ を満足しないなければならない。 (17) 式と $P = g(\varepsilon_s)$ 関係から P_u を直接求めることができないので、Try and error 的に、緊張材緊張力 P_u を求め、(13)式 (14)式から固定端終局曲げモーメント M_u を計算する。

Z-3. 数値計算と結果

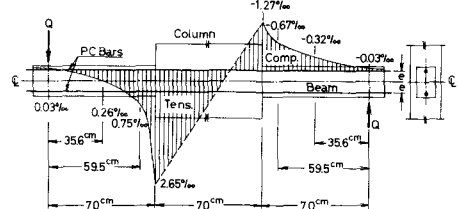
次のような仕様のはり・柱接合部について数値計算を行なった。

有効緊張力 $P_u = 15000 \text{ kg}$ 、偏心距離 $e = 7.0 \text{ cm}$ 、柱巾 $B = 20 \text{ cm}$ 、はり巾 $b = 12 \text{ cm}$ 、はり丈 $h = 20 \text{ cm}$ 。

はり長さ $l_b = 70 \text{ cm}$ 、柱巾 $l_c = \begin{cases} 70 \text{ cm} \\ 30 \text{ cm} \end{cases}$ 、コンクリート圧縮強度 $\varepsilon_{cu} = 400 \text{ kg/cm}^2$ 、同ひずみ $\varepsilon_{cl} = 1.3\%$ 、 $\varepsilon_{cu} = 2.5\%$ 。オ1表はその結果を示したもので、柱接合部のひずみ分布の影響を(a)～(c)まで各種考

オ1表 柱部ひずみの影響

	$l_c = 70 \text{ cm}$			$l_c = 30 \text{ cm}$		
	a	b	c	a	b	c
$P_u (\text{t})$	15.95	15.13	15.65	15.60	15.16	15.45
$M_u (\text{t} \cdot \text{m})$	2.09	2.04	2.07	2.07	2.04	2.06
$Q_u (\text{t})$	2.99	2.91	2.96	2.95	2.97	2.94
柱部 $\Delta l_{bf}(l_c=70 \text{ cm})$	34.6	76.4	42.1	54.2	74.6	56.2
柱部 $\Delta l_{bf}(l_c=30 \text{ cm})$	498.0	0	332.5	332.5	0	152.2



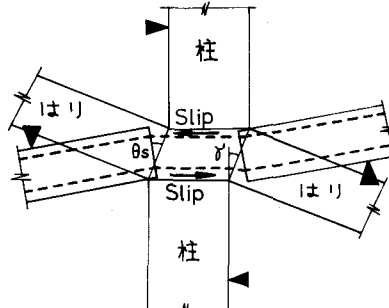
オ6図 緊張材位置におけるコンクリートのひずみ分布例 ($l_b = l_c = 70 \text{ cm}$, $P_u = 15950 \text{ kg}$)

差してもあまり差がないことが判った。

緊張材とコンクリートとの間の付着が完全で、断面の平面保持が成立つとして求めた終局曲げモーメントは $M_u = 2.94 t \cdot m$ であり、付着のないオフ表の場合のそれと比べて $M_u/M_{u0} \leq 1\%$ となり、付着のない場合の耐力低下が著しいことが明らかである。

3. 付着のあるPCはりの変形と耐力

付着が完全にある場合、接合部に隣接する部材には接合部のせん断変形のみが付加回転角として生じる。しかしレグラウト等により付着があっても、付着せん断応力がある限度を超過すると緊張材とコンクリートとの間に相対すべりが生じ、オフ図に示すような隣接部材との境界で付加回転角 θ_s が生じる。付加回転角 θ_s の大きさは緊張材鉄筋比、緊張材の付着特性、柱軸圧、柱丈などに



オフ図 接合部変形状態

関係し、一概に評価することが難しい。こゝでは θ_s に対する柱丈の影響を実験によって明らかにする。

4. PCはり・柱接合部の逆対称載荷試験

はり・柱接合部の種々の力学性状のうち、特に緊張材の応力分布とそのコンクリートとの相対すべり量について知見を得ることを当面の課題とする。

4-1. 実験計画

実験に用いた試験体はオフ表に示す4種で、その寸法詳細をオフ図に示す。下記の条件設定を行なった。

(i)接合部の鋼とコンクリートとの付着せん断力分布と柱断面丈との関係を明らかにするため、柱丈を300mmと500mmとした。

(ii)柱軸圧力は接合部の付着性状に大きな影響を及ぼすと思われる。こゝではPC鋼棒によって 70kg/cm^2 の柱軸圧力を導入したが実験中の調整は行なわなかった。

(iii)はりが終局状態に達しても柱にはほとんど損傷が生じないよう柱とはりの寸法比を決めた。接合部自体の変形性状については将来の課題とするためである。

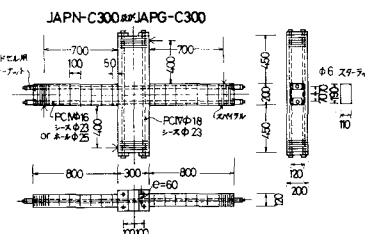
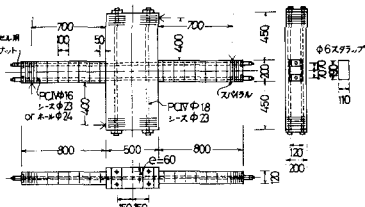
(iv)交番繰返し載荷による付着劣化性状については主な目的としない。こゝではその極端な場合として付着なしPCはり・柱接合部の載荷試験を行なう。

(v)PCはりが地震荷重をうける直前にその断面に生じている有効導入応力分布は、PC構造特有の緊張力導入順序と施工法によって異なる。今回は常時荷重状態で導入圧縮力中心が断面重心にあるものとし、かつ、柱の左右PCはりの正負両方向荷重に対する断面性能を同一とした。

(vi)通常、PC部材の平均導入応力は約7.0t/mとなる。はりの曲げ抵抗モーメントを大きくとれば、接合部の付着性状に厳しい条件をいふことになるので、大口径PC鋼棒を採用した。その引張鉄筋係数は0.41である。

試験体名	柱断面 寸法 (mm)	導入 軸圧 (ton)	導入 せん 断力 (ton)	付着 性状	備考
JAPN-C300	300	340	2x15.5	無	・緊張力 入材節理 考慮なし
JAPN-C500	500	340	2x15.5	有	・試験 材半数
JAPG-C300	300	340	2x15.5	有	500
JAPG-C500	500	340	2x15.5	有	500

オフ表 試験計画表



オフ図 試験体形状・寸法および詳細

(vii) はり断面横半径は3.33cmであるが前項と同じ理由で緊張材偏心距離を7.0cmとした。

4-2. 材料 本研究に用いた実験材料は下記の各項のとおりである。

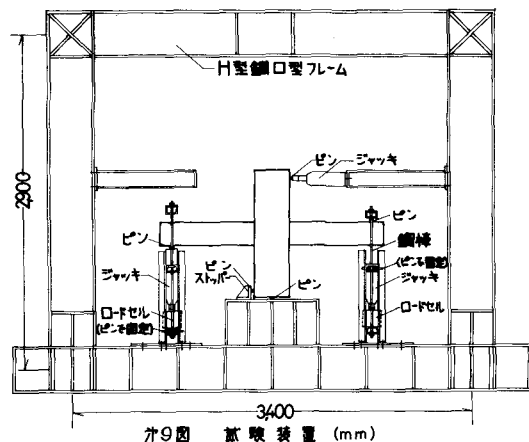
- (i) セメント 宇都普通ポルトランドセメント。JIS規定による3, 7, 28日曲げ強度は各々33.4, 51.5, 68.8kg/cm²、また、同じく圧縮強度は各々132, 214, 412kg/cm²であった。
- (ii) 骨材 細骨材：野洲川産、最大粒径5mm、粗粒率F.M.=2.42。粗骨材：大阪セメントKK製ライオナイト、最大粒径20mm、FM=6.78。
- (iii) コンクリート 28日公称圧縮強度340kg/cm²。重量配合比1:1.83:1.32、水セメント比45%、スランプ2~3cm。
- (iv) 鋼材緊張材：PCはり緊張力導入用として高周波熱練KK製TV種丸鋼棒φ16mmを用い、両端ネジナット定着方式とした。PC鋼棒の応力-ひずみ曲線は第9図に示すものと同じである。普通鉄筋：筋筋および引張、圧縮側組立筋としてφ6mm普通軟鋼を用い、その降伏点応力 $f_y = 22.9 \text{ kg/mm}^2$ であった。
- (v) シース、Φ23mm鉄板製ワインディングシース。
- (vi) グラウト、ポンプ注入の容易さを考慮してその水セメント比を45%とした。

4-3. 載荷方法 地震荷重を模した逆対称載荷を行なった。すなわち、第9図に示す鋼製口型フレームを反力受けとして、油圧ジャッキによって載荷した。はり自由端載荷点では10tonジャッキと5tonロードセルとを1対として、Yoke固定位置を変えることによって常にロードセルに圧縮力を作用させて、上下両方向に載荷できるようになっている。柱の水平反力はローラを通じて上下対称位置に作用するが、柱の垂直姿勢制御のため油圧ジャッキを用いた。載荷試験直前に柱内のシースに4-φ18mm PC鋼棒を挿入して、柱軸圧力が70kg/cm²となるように緊張したが試験中の調節は行はねなかった。

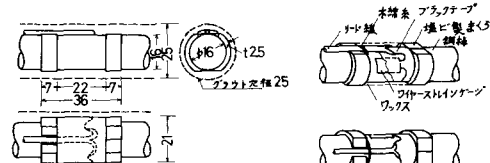
4-4. 測定方法 実験に用いた測定方法を項目別に記す。

- (i) 載荷によるはり緊張用PC鋼棒存在力変化量の測定は下記の方法によった。

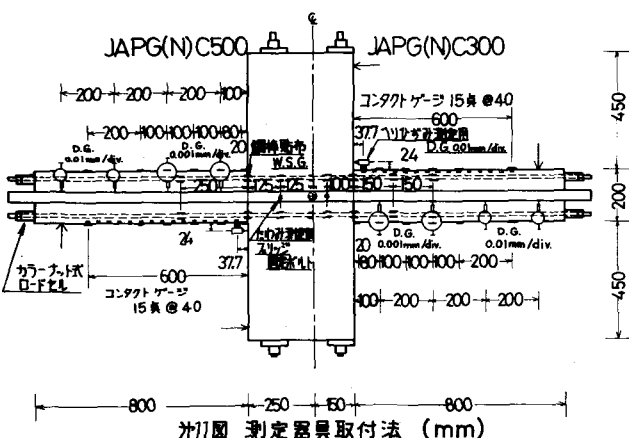
(a) 定着端部においては定着板と定着ナット間に表面に電気抵抗線ひずみゲージ($\times 10$ W.S.G.と略記)を貼付した外径30mm、肉厚6mm、長さ60mmのSCMZ鋼シ



第9図 実験装置 (mm)



第10図 PC鋼棒ひずみ測定用W.S.G.貼付方法 (mm)



第11図 測定器具取付法 (mm)

リンガーを挿入し、緊張力導入時および載入時および載荷試験中の緊張材存在力検出用ロードセルとして用いた。

(b) 定着端以外の緊張材存在力の変化はつきのような方法によって求めた。グラウト注入をしない場合はシースと緊張材との間の摩擦が無視しうるとして、定着端ロードセルより求めた緊張材存在力がその全長にわたって生じているとした。グラウトを注入する場合には緊張材の長さ方向所定の位置で、その表面にW.S.G.を貼付して存在力変化量を実測した。載荷中に試験体が変形して緊張材とシース間に相対滑りや側圧が生じW.S.G.が損傷しないよう前に10図に示すような塗装板の間にW.S.G.を貼付し、防湿と緩衝材をかけてワックス処理した。グラウト注入試験体の場合は鉄板製シースを用いないで試験体製作時にφ25mm磨き鋼管を緊張材位置に配置し、コンクリート硬化後鋼管を引き抜いてできた孔へ緊張材を挿入した。W.S.G.リード線は緊張材に沿って定着端から引き出した。

(ii) PCはりコンクリートひずみの測定は次のような方法を併用した。

(a) はりの上下面中央のヘリひずみをW.S.G. (G.L.=32mm) で測定した。

(b) はりの面上下ヘリから5mm位置のひずみを検長40mmのコンタクトゲージで測定した。

(c) はり固定端引張ヘリひずみをDial gage (0.01mm/div.) で測定した。

(iii) PCはりのたわみ曲線の測定

接合部にはせん断ひびわれなどが生せず大変形がないので、接合部に埋め込んだボルトにアルミ製測定棒を固定し、それとPCはりとの相対たわみを所定の位置でDial gage (0.001mm & 0.01mm/div.) により測定した。

以上の各測定方法の詳細はオ11図に示した。

4-5 PCはりの緊張力導入

PCはりに対する緊張力の導入はコンクリート材材が約2ヶ月のときに行なった。導入時コンクリートの弾性係数とPCはりに生じたひずみから求めた導入緊張力と定着端カラーナット式ロードセルから求めたそれとの平均値でも、導入緊張力とした。グラウト注入試験体の場合、シースの代りに明けた緊張材挿入孔のかぶりコンクリートが小さくなりすぎ、定着端でコンクリートに割裂きの危険が生じ、導入緊張力を約2/3とした。

4-6. 載荷試験結果 載荷試験は指令約3ヶ月のとき行なったオ4表に載荷試験時試験体性質と結果の一部を示す。以下項目別に述べる。

(i) PCはりの軸方向相対たわみ分布はいつも滑らかで曲線であるが、その勾配の変化から固定端の曲率を求ることはできなかった。また、載荷荷重が増しPCはり固定端にヒンジが生じるにつれ相対たわみ分布曲線の形が変化するということは殆ど認められなかった。(図略)

(ii) コンタクトゲージで測定した

オ4表 試験時試験体諸性状

試験体 名 称 (回)	コンクリート			有効緊張力 (ton)	初期ひずみ分布 位置 (P _上 , P _下)	初期 荷重 (ton)	終局時性状		終局時 荷重 (ton)	終局時 荷重 百分比 (%)
	正縮量 (mm)	引張強度 (kg/cm ²)	引張強度 (kg/cm ²)				計算値 荷重 (ton)	計算値 荷重 (ton)		
JAPN-C300	56	445	$\times 10^5$	169	17.0	156	155	163	163	163
JAPN-C500	56	445	2.18			17.0	16.6	154	154	16.2
JAPG-C300	65	322	$\times 10^5$	11.8	11.6	10.3	10.1	11.0	10.9	
JAPG-C500	61	351	$\times 10^5$	11.6	10.8	9.6	9.9	11.0	10.4	

(iii) ひびわれ分布を示す。付着のある方が、柱丈の大きい方が曲率の降低傾向にある。

(iv) 載荷点の荷重とためみ関係は実験から得られたはりの曲率分布の積分値とよく一致し、この場合、接合部やはりのせん断変形の影響は無視できることが判った。

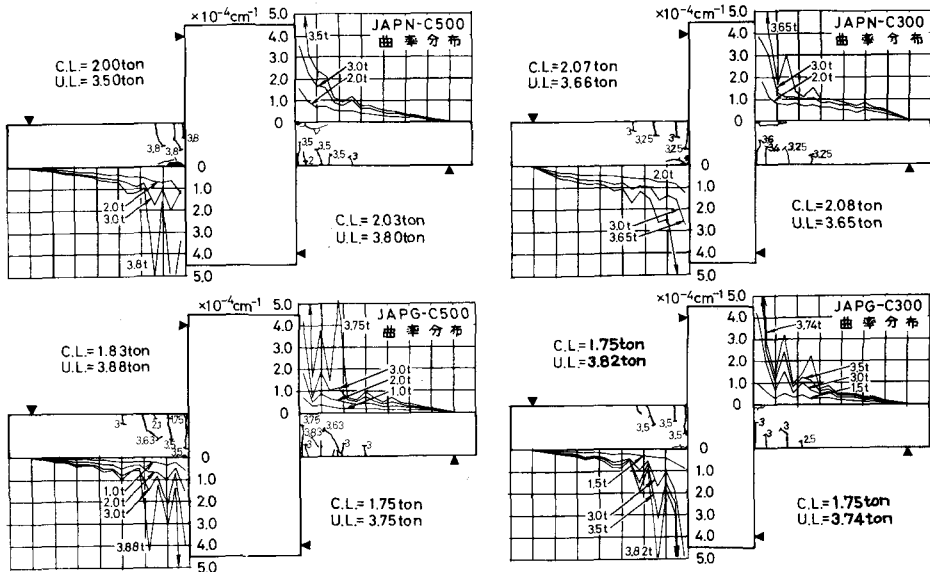


図12図 ひびわれ図と曲率分布

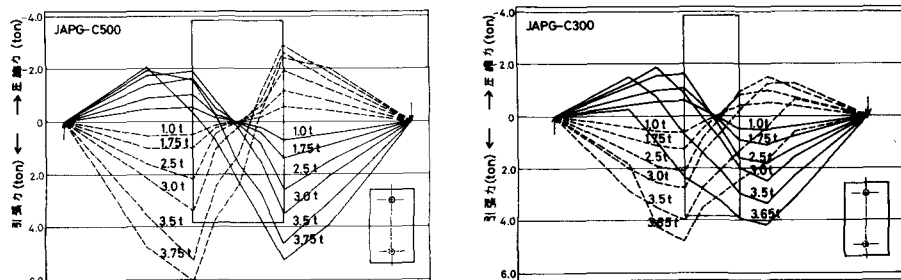


図13図 PC鋼棒存在力増加量分布

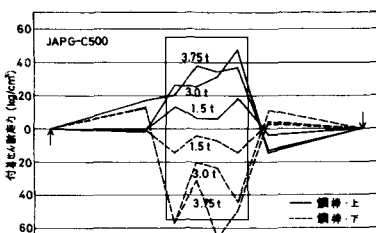


図14図 PC鋼棒付着せん断応力分布

緊張弦存在力の載荷による変化量 $P(x)$ 分布を示す。PCはりに曲げひびわれが発生するまでその分布は殆ど対称的に変化する。引張側柱面より柱の内側へ緊張弦の存在力変化量が引張である範囲を定着長さと名づければ、ひびわれ発生後急激に定着長さが長くなり、終局時にはその影響が柱の反対側のはり部にまで及ぶ。JAPG-C300 の場合には引張側緊張弦の変化量最大値が柱面より少し離れて

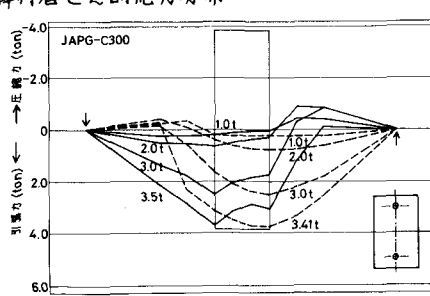
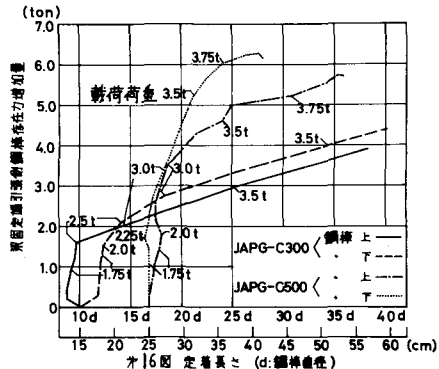


図15図 PC鋼棒存在力増加量分布



たところに生じ、柱丈が小さく定着が不完全で

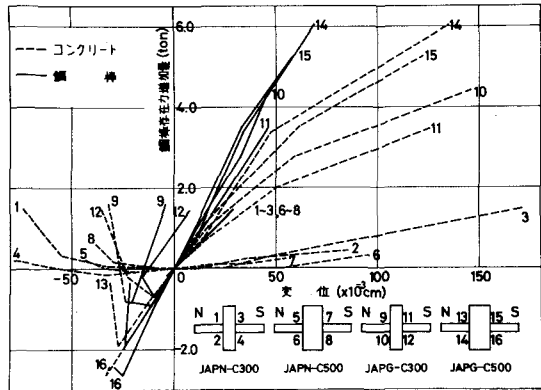


図17 固定端の調節位置のコンクリートおよび鋼材の変位

みるとすべりを起して緊張弦存在刃の緩和が生じるものと考えられる。图16は定着長さとはリ固定端引張側緊張弦の載荷による変化量との関係を示したもので、柱丈が500mmの場合はひびわれ荷重以上で定着長さがあまり増加しないのにに対し300mmの場合には急激に増加することは明らかである。图15は柱丈が300mmの場合に終局時まで載荷した後、次に逆方向に載荷したときのP(X)分布を示したもので、逆せき荷のときに比べ、引張刃支配域が格段に長くなることが判る。

(vi) 图13のP(X)分布から求めた付着せん断応力 $\tau(x)=\frac{dP(x)}{dx}$ (τ :緊張弦周長)の分布を图14に示す。 Δx はW.S.半貼付長36mmを差引いたもので相鄰するW.S.半貼付位置間中央で $\tau(x)$ を示した。柱丈が500mmの場合ひびわれ荷重以下では二つの頂をもつ対称分布であるが300mmの場合ではこの頂が接する。載荷荷重が大きくなると柱丈の大きい方が τ_{max} は大きくなり、かつ、分布が平坦な頂をもつようになる。图中下側緊張弦中央で τ 分布に谷が生じるのは、その位置でグラウトにシザース隙が生じていたためである。(vii) 緊張弦とコンクリートのひすみ分布から、はり固定端の両者の初めの位置からの変位を求める位置のP(X)との関係を求めると图16のようになる。両材料の変位の差は緊張弦の接合部からの抜け出し量に関係があるものと考えられる。付着のある場合平面保持を图18, 19の応力-ひすみ曲線を仮定し、付着のない場合はZ節の計算方法を用いて求めた載荷端たわみとその実験値に対する荷重との関係を图18に示す。付着のある場合、图19のようとの差は荷重がある限度以上になると、柱丈の大小に逆比例しており、あたかもPCはりがその固定端で剛体回転角 θ_s を生じるように考えられる。(viii) 付着のある場合でも、このような緊張弦の滑動によって图4表の終局荷重は平面保持を仮定した計算耐力に達せず、また、グラウト注入をしない場合でもシースと緊張弦との摩擦が多少あるため計算耐力を超過し、結果的には同様の耐力を發揮するものと考えられる。

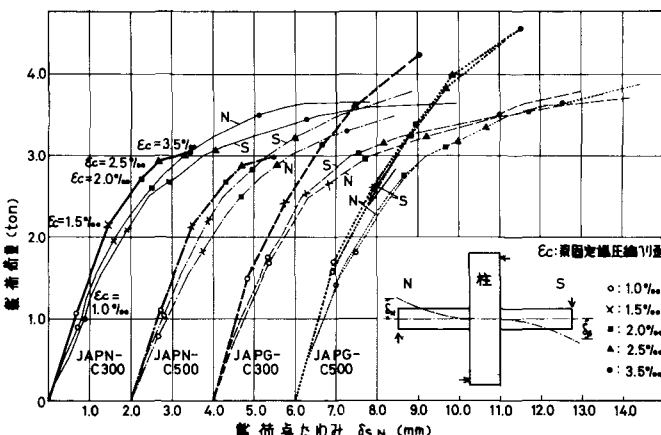


图18 固定端たわみ実験値 $\delta_{s,p}$ (実線)と計算値 $\delta_{cal,exp}$ (点線)との比較

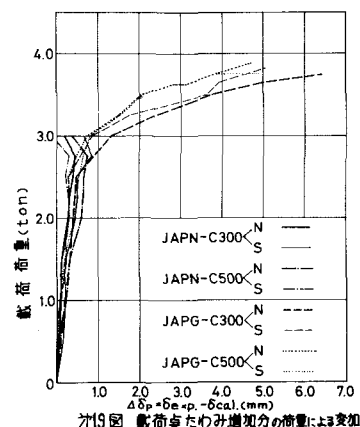


图19 固定端たわみ増加分の量によると変加